GRAVITY: Observation de Sgr A* par interférométrie infrarouge

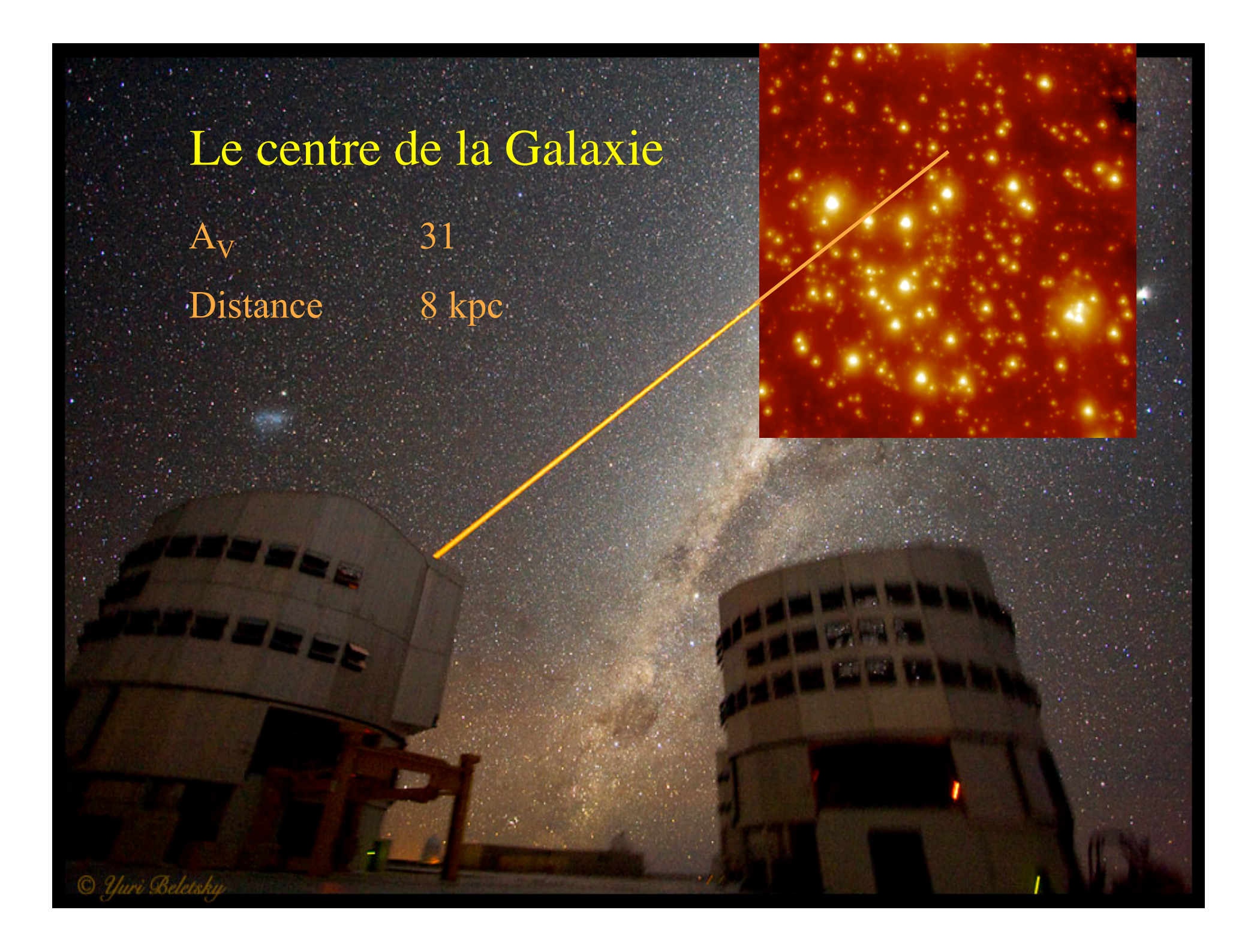
Journées PNC/PNG 2008 Paris

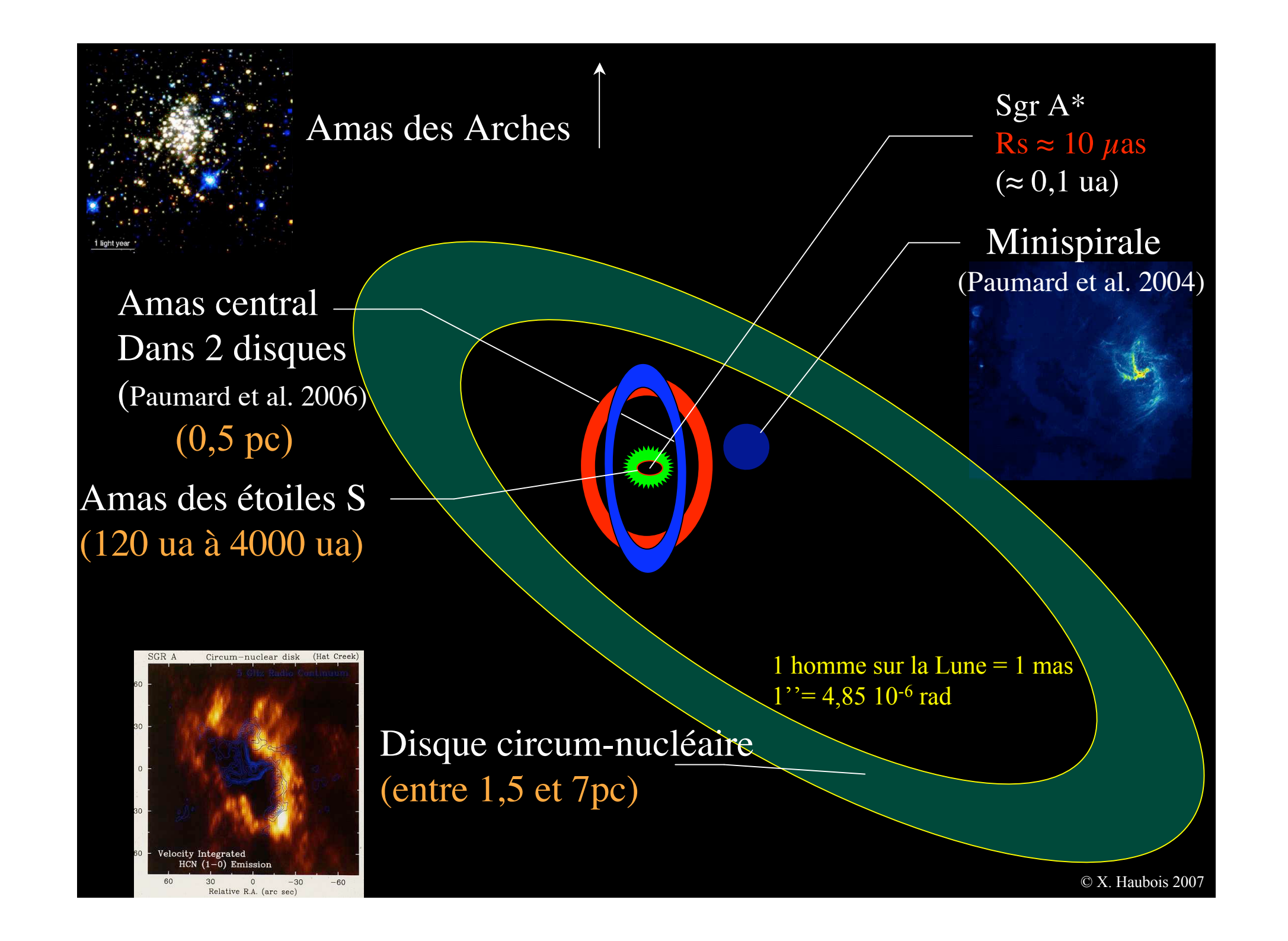
Guy Perrin



Mardi 1er Avril 2008



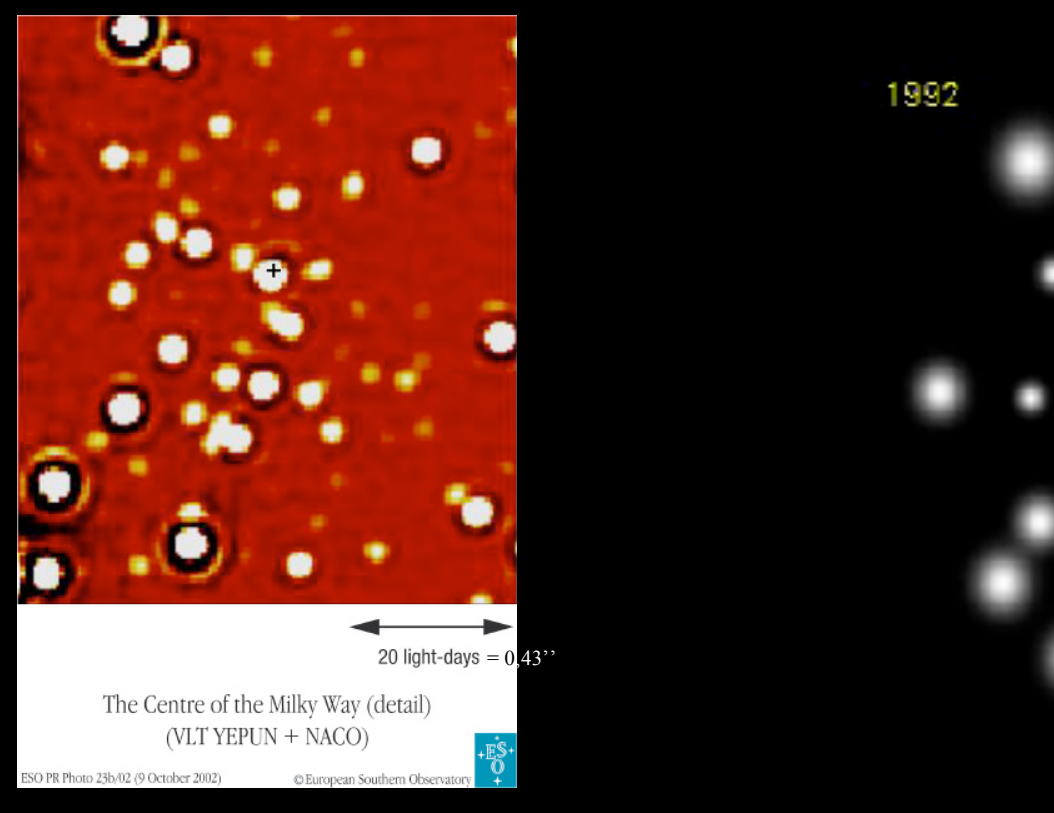


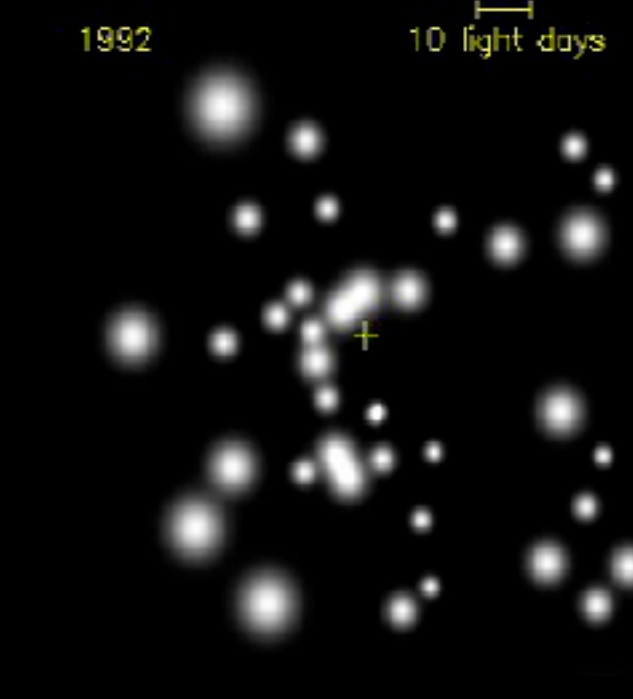


Observations monotélescope

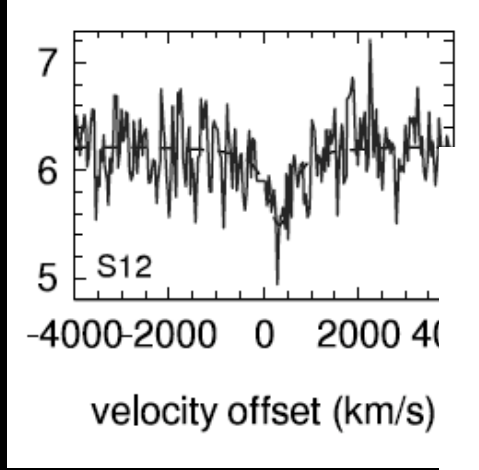
Orbite de S2 observée par NACO

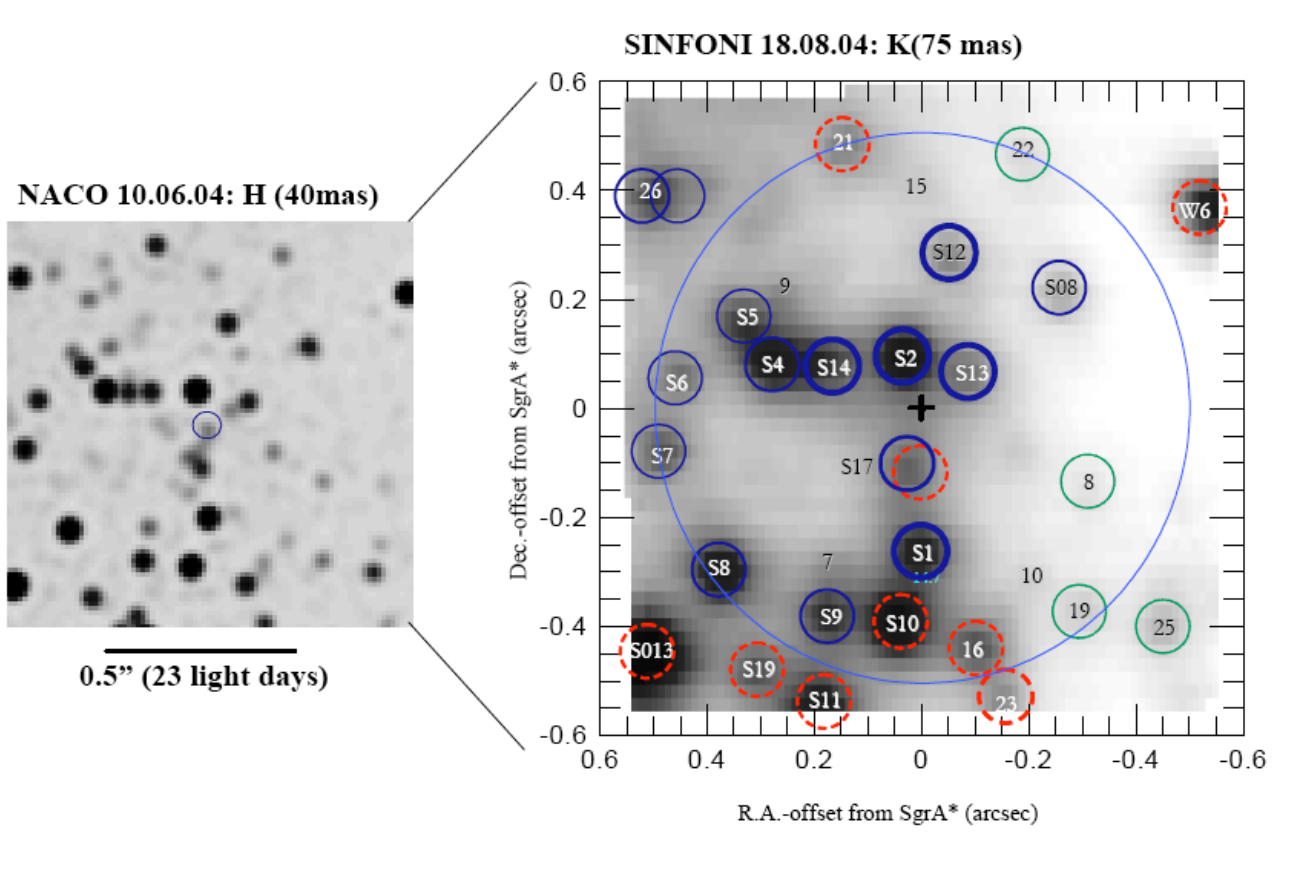
(120 ua ou 1200 R_s)





Orbites 3D: SINFONI + NACO



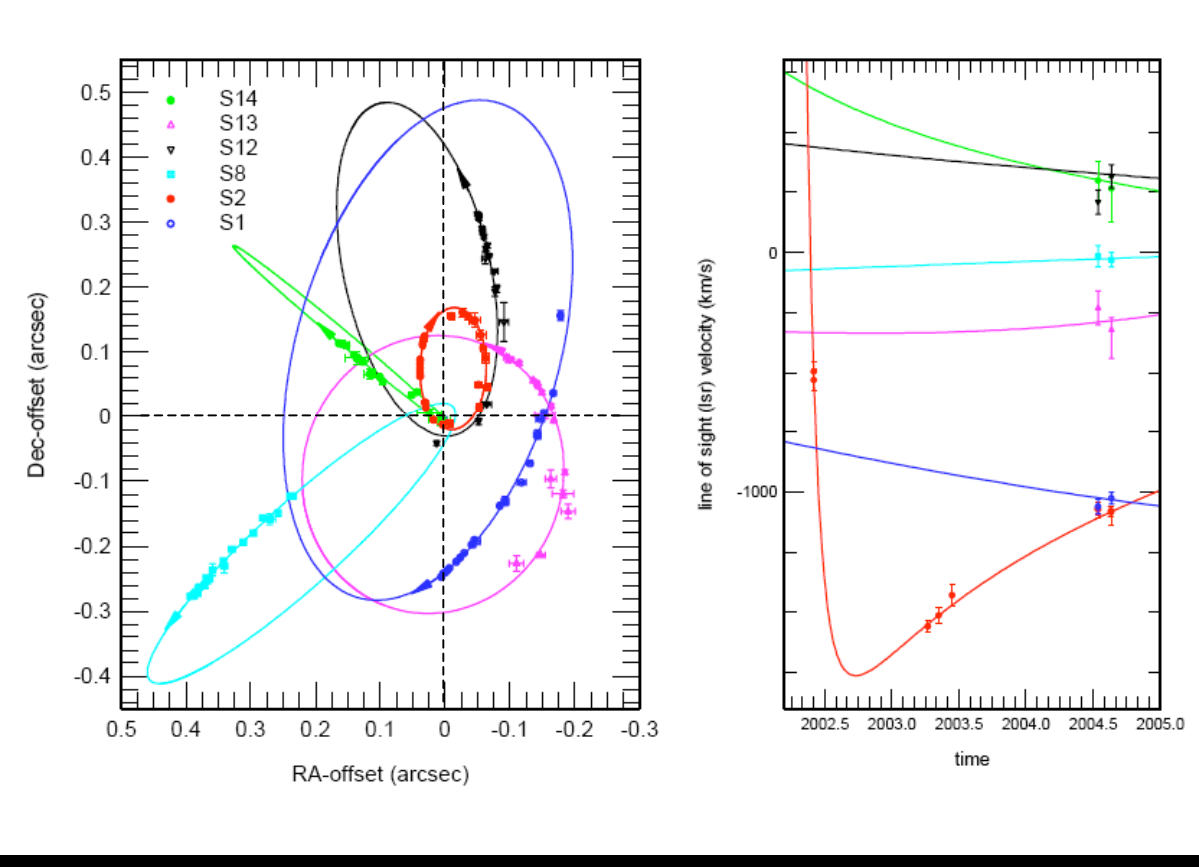


Eisenhauer et al. (2005)

Orbites 3D: SINFONI + NACO

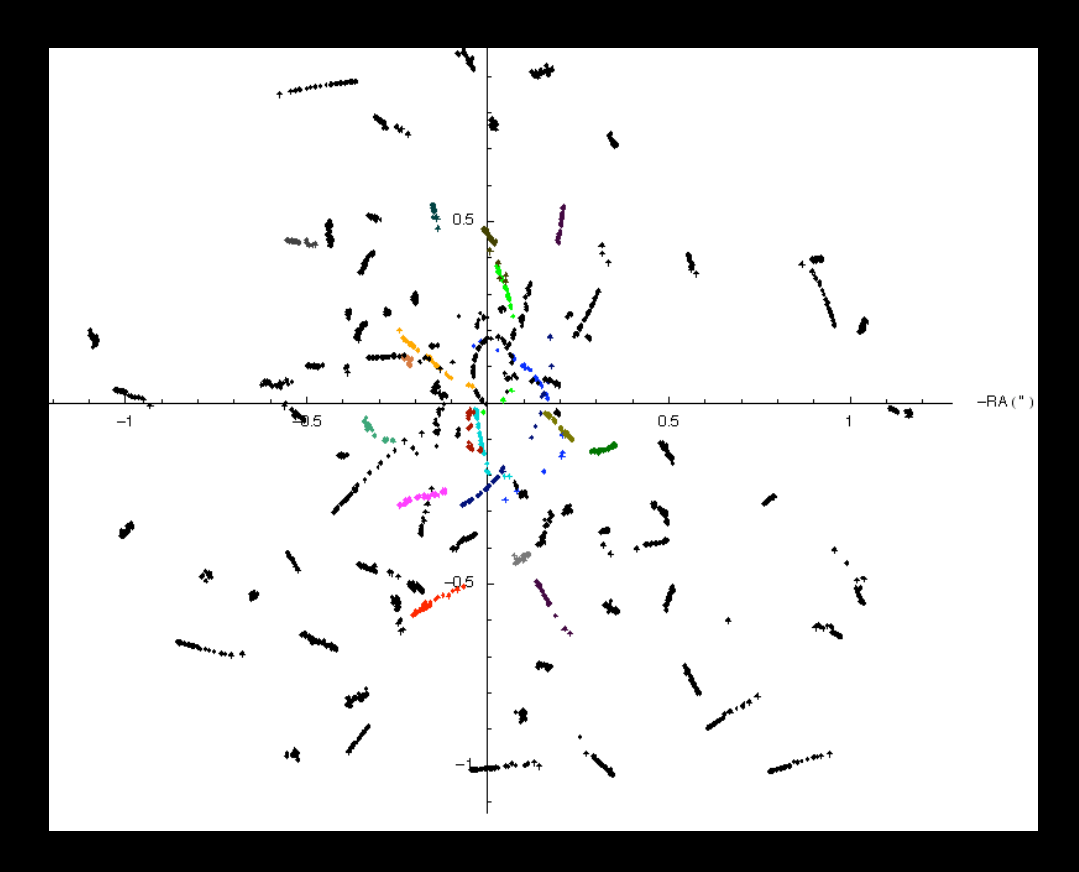


 $M_{SgrA*} = 3,61 \pm 0,32 \ 10^6 \ M_{so}$



Eisenhauer et al. (2005)

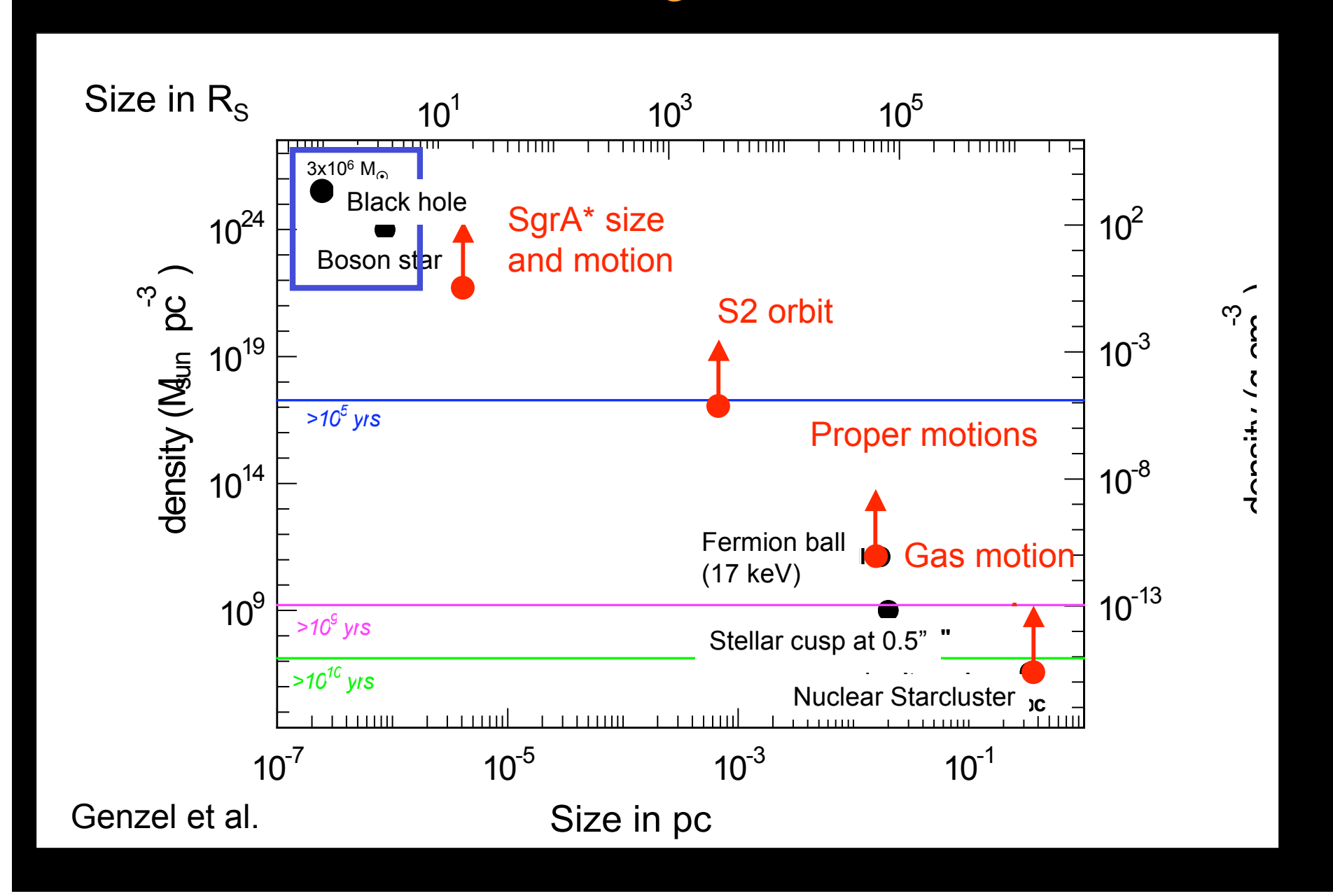
Orbites 3D: SINFONI + NACO



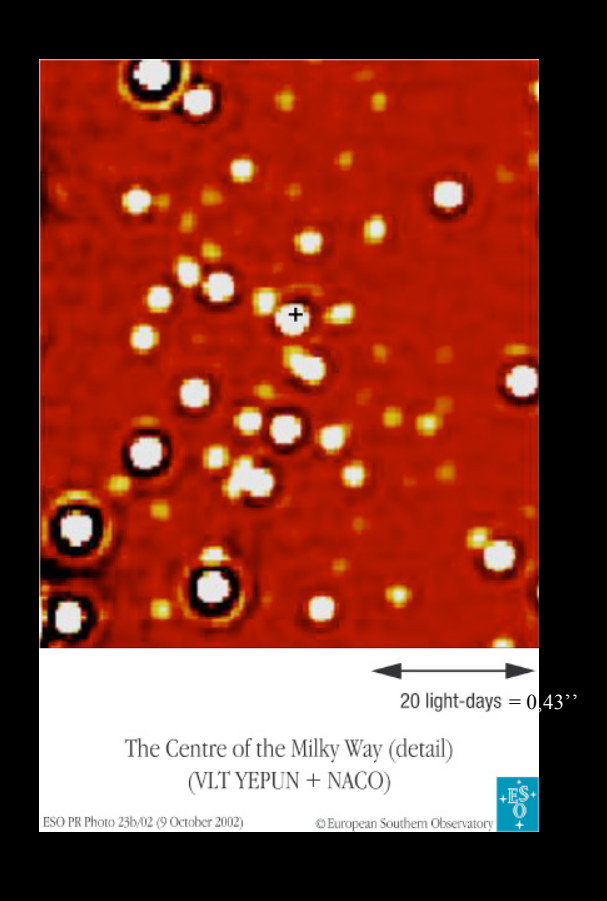
Quid des effets relativistes sur les orbites des étoiles les plus proches ?

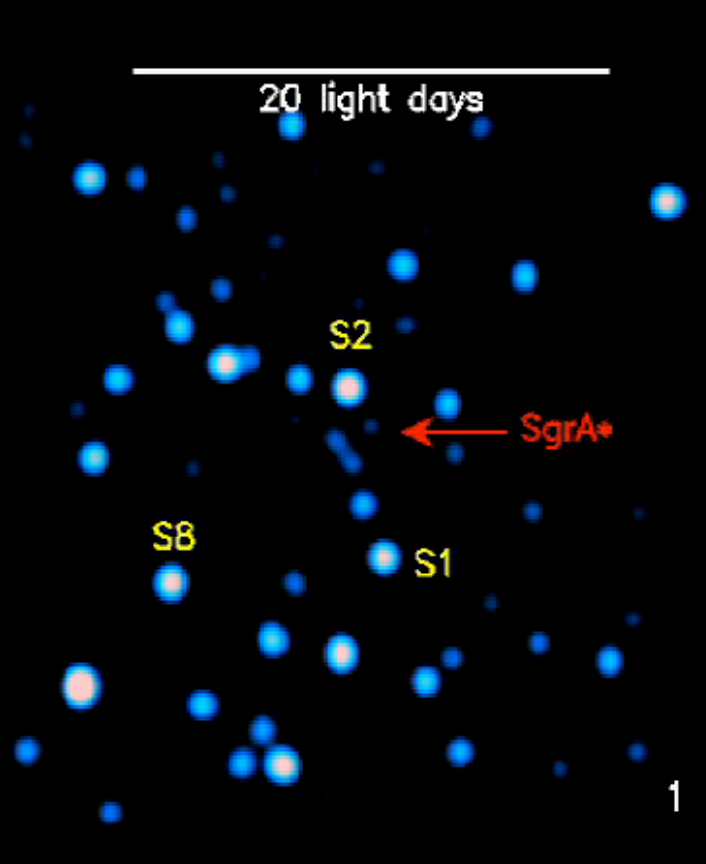
 \rightarrow plus de résolution est nécessaire : de l'ordre de quelques mas ie quelques $100~R_{\rm s}$

Si la théorie de la relativité générale est la bonne alors ...

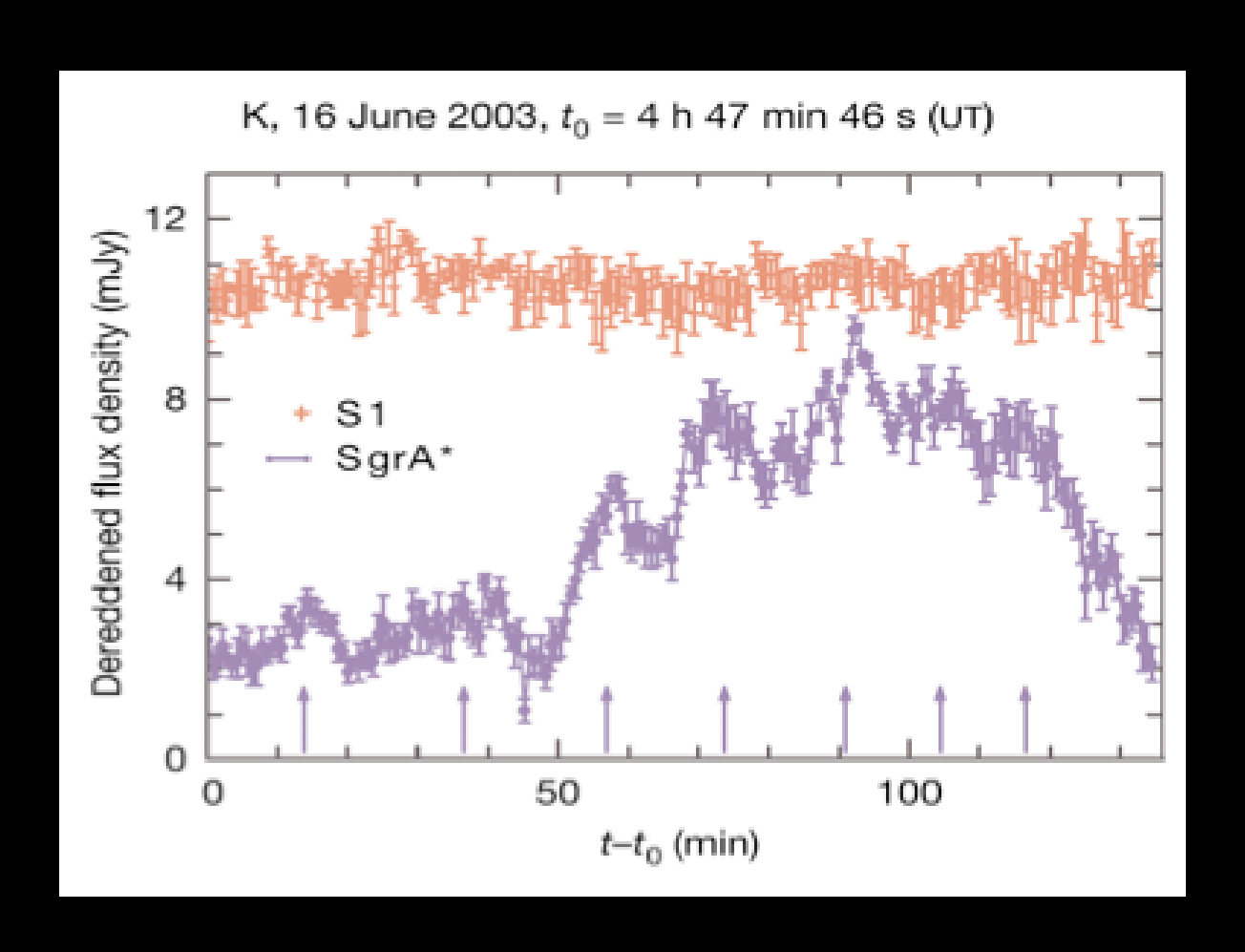


Le poisson d'Avril de la nature

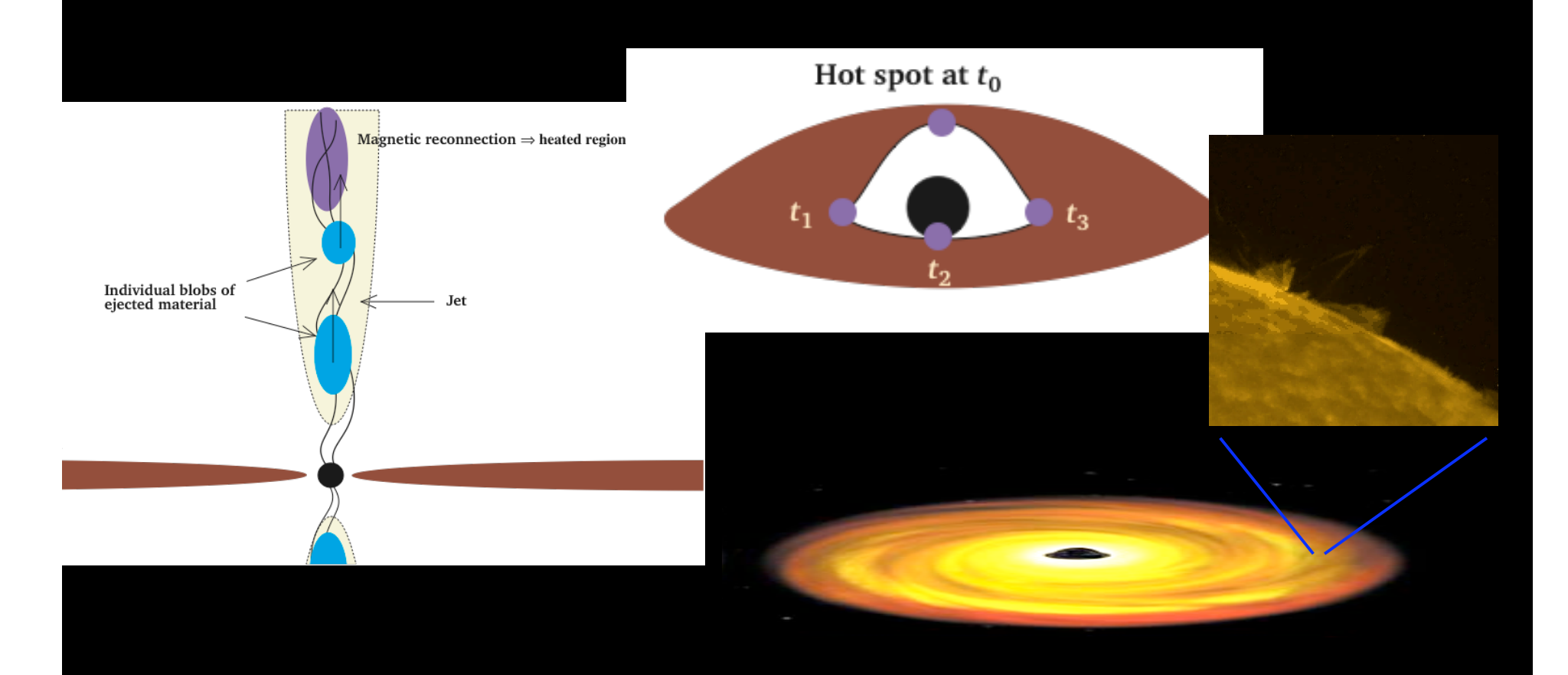




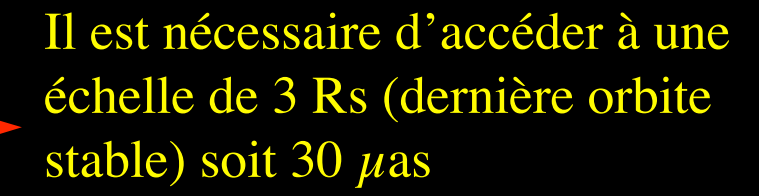
Sursauts en fonction du temps



Modèles possibles pour les sursauts



Ou encore, étoiles *traversant* le disque d'accrétion près de la dernière orbite stable



Aller plus loin grâce à l'information spatiale

Apporter définitivement la preuve du trou noir : montrer que la masse est contenue dans 1 Rayon de Schwarzschild

Comprendre la nature des sursauts

Utiliser le trou noir comme un laboratoire unique pour la relativité générale en champ fort

Échelle ~ 1 Rs

10 µas

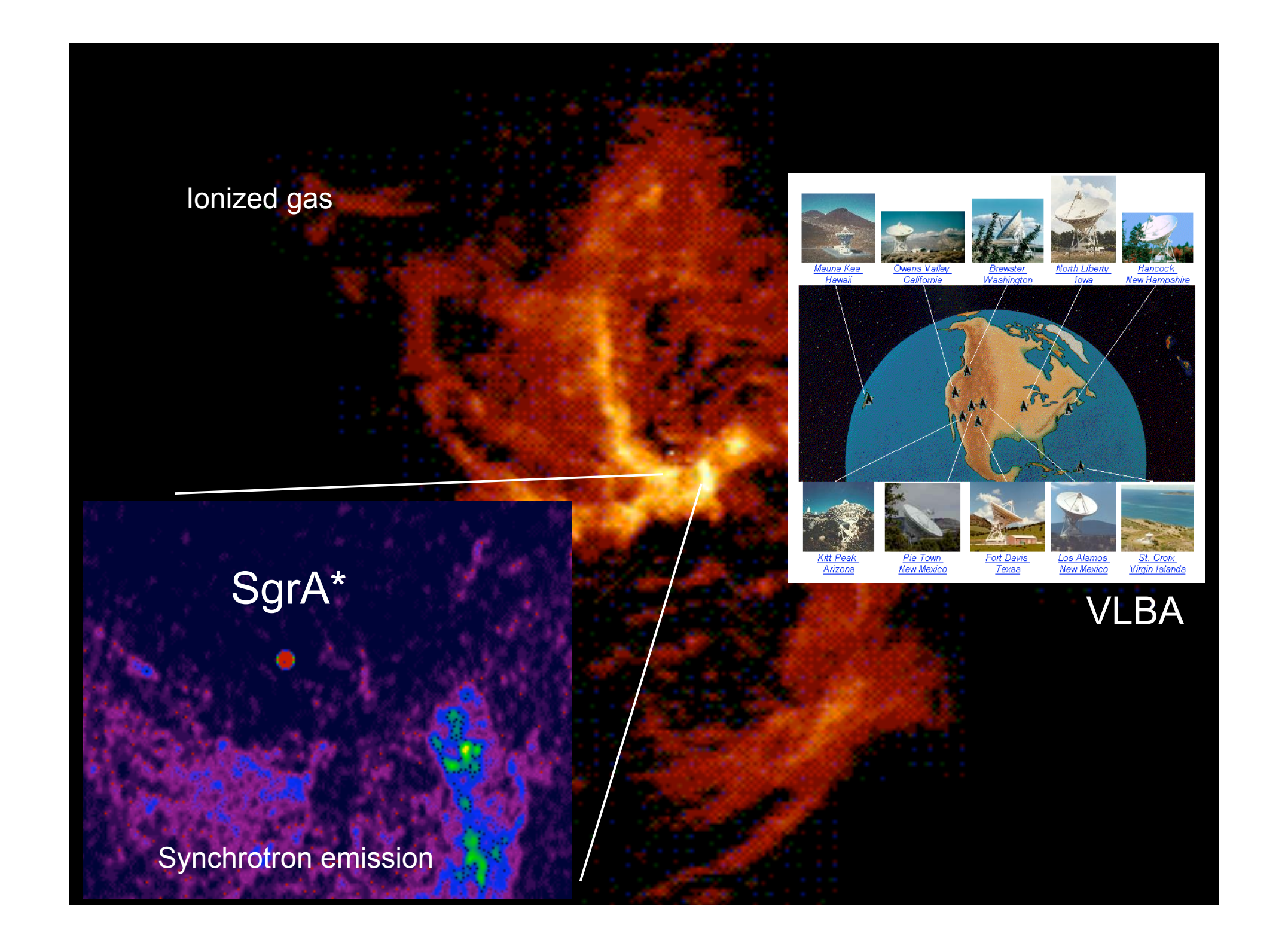
Étudier les effets relativistes sur les orbites d'étoiles proches

Comprendre la nature des étoiles centrales et leur distribution

Échelle ~ 100 Rs

1 mas

Observations radio

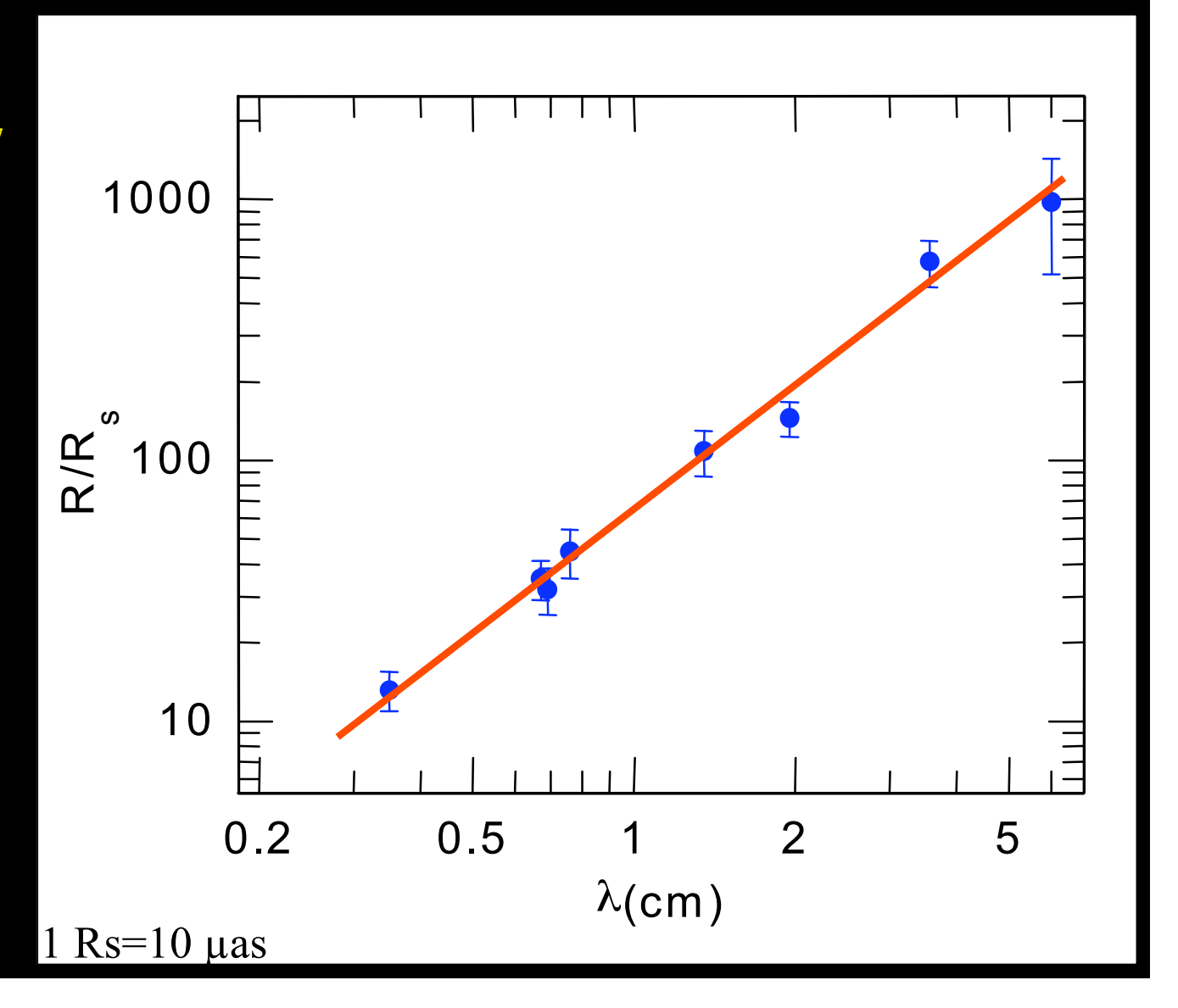


Technique VLBI

Diamètre ~ 20 R_S $(\lambda_{5mm})^{1,3-1,7}$ 1 ua ou 13 R_S @ 3,5 mm

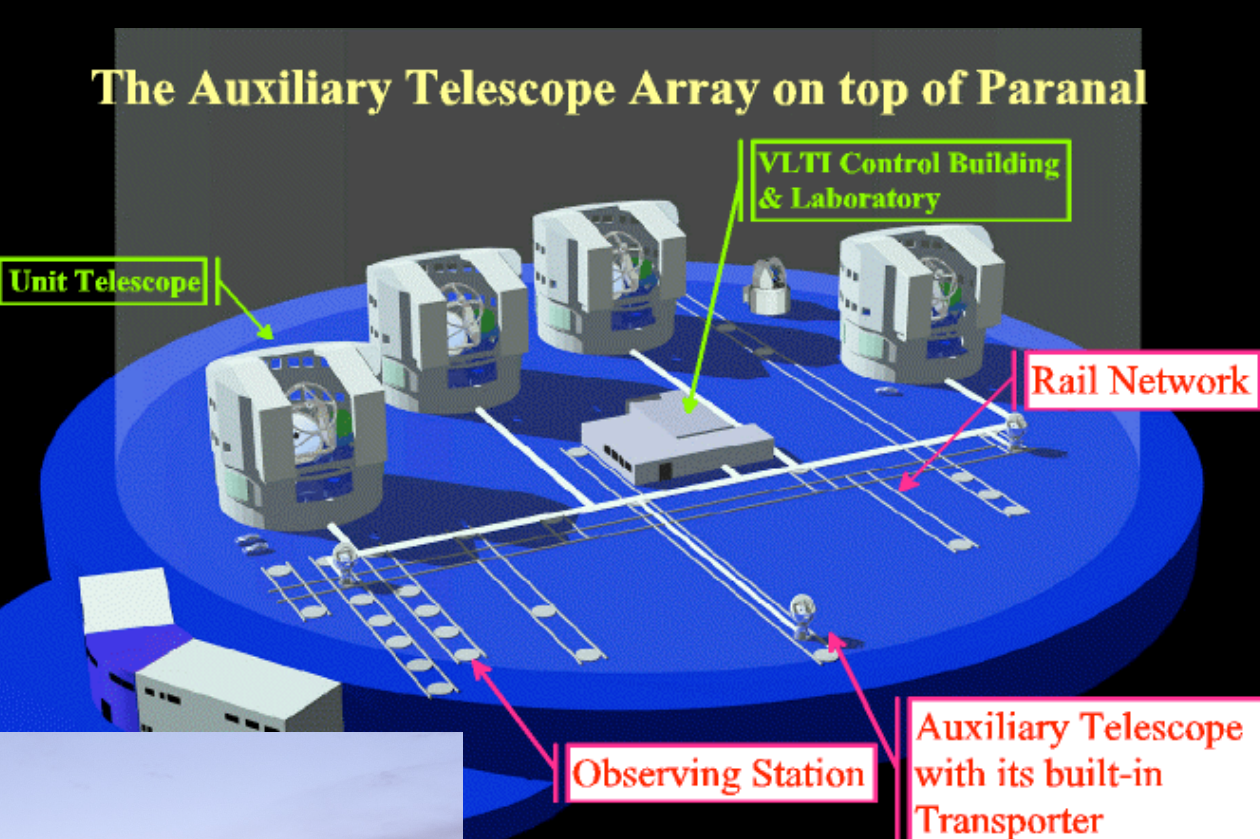
Cette loi est due à la diffusion du rayonnement par le gaz ionisé

Bower et al. (2006, 2004) Shen et al. (2005)



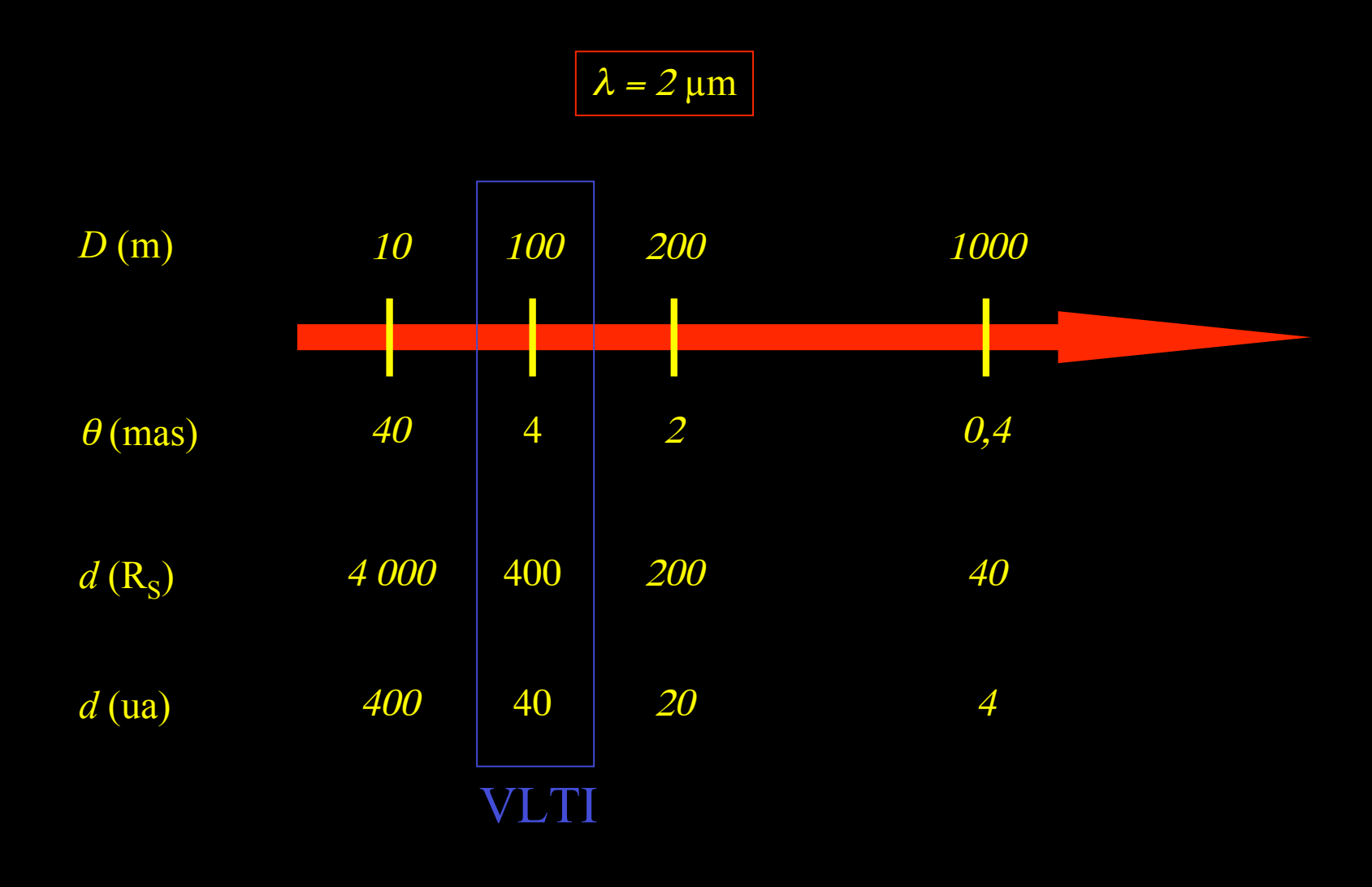
Interférométrie infrarouge

Le Very Large Telescope Interferometer (Mont Paranal, Chili)



Building

Potentiel du VLTI



L'instrument GRAVITY

GRAVITY: General Relativity Analysis with VLTI inTerferometrY





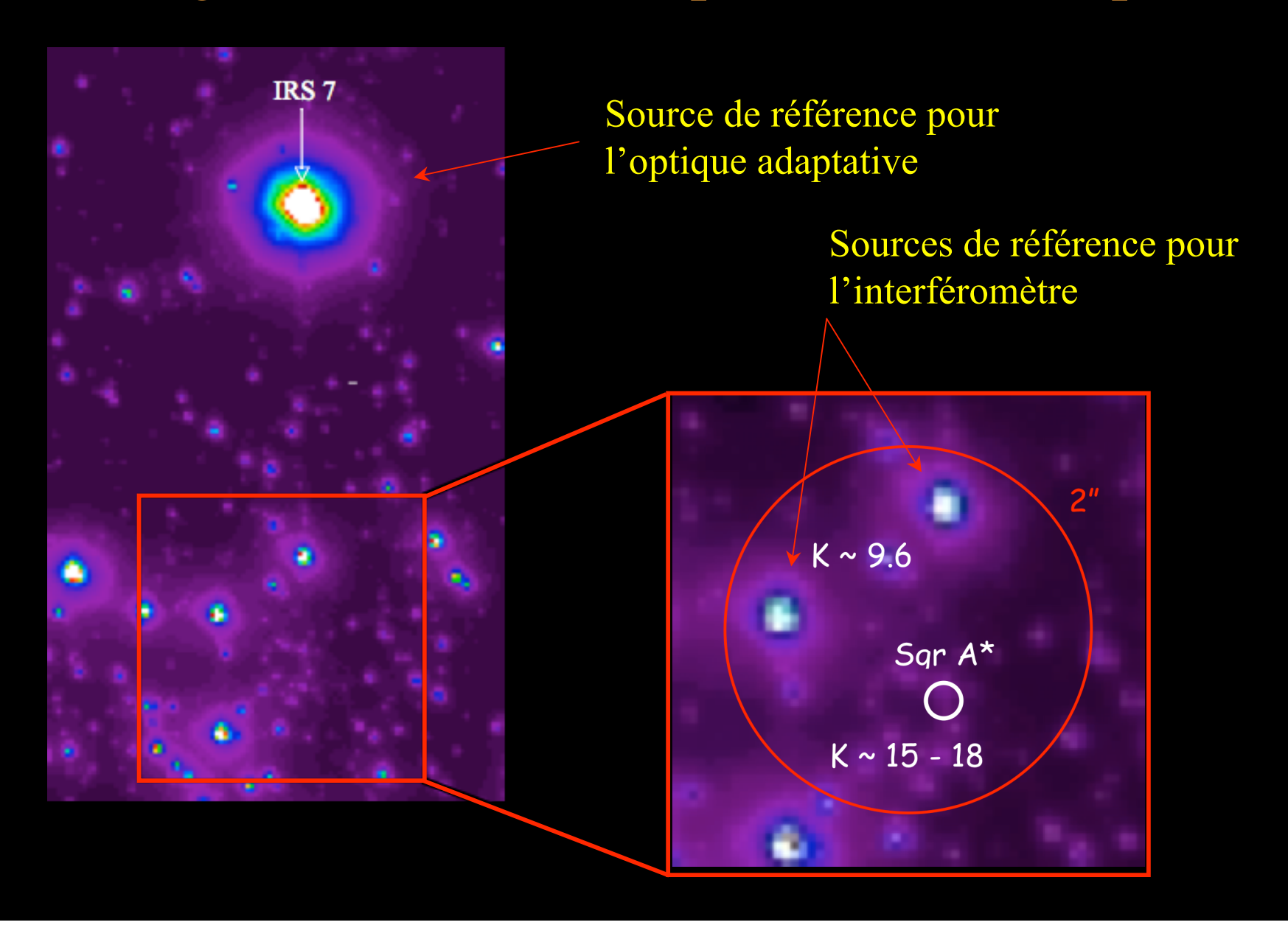


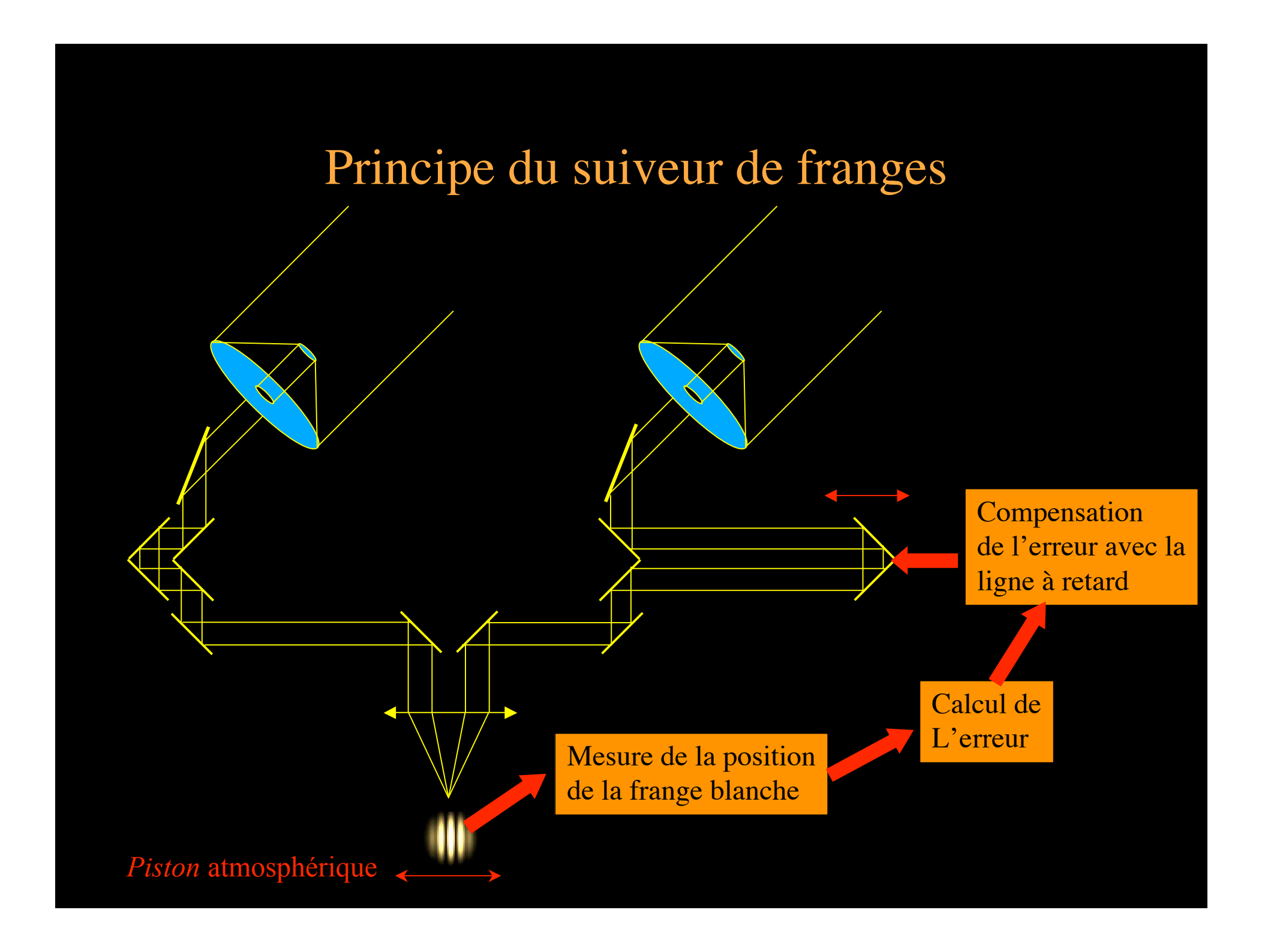






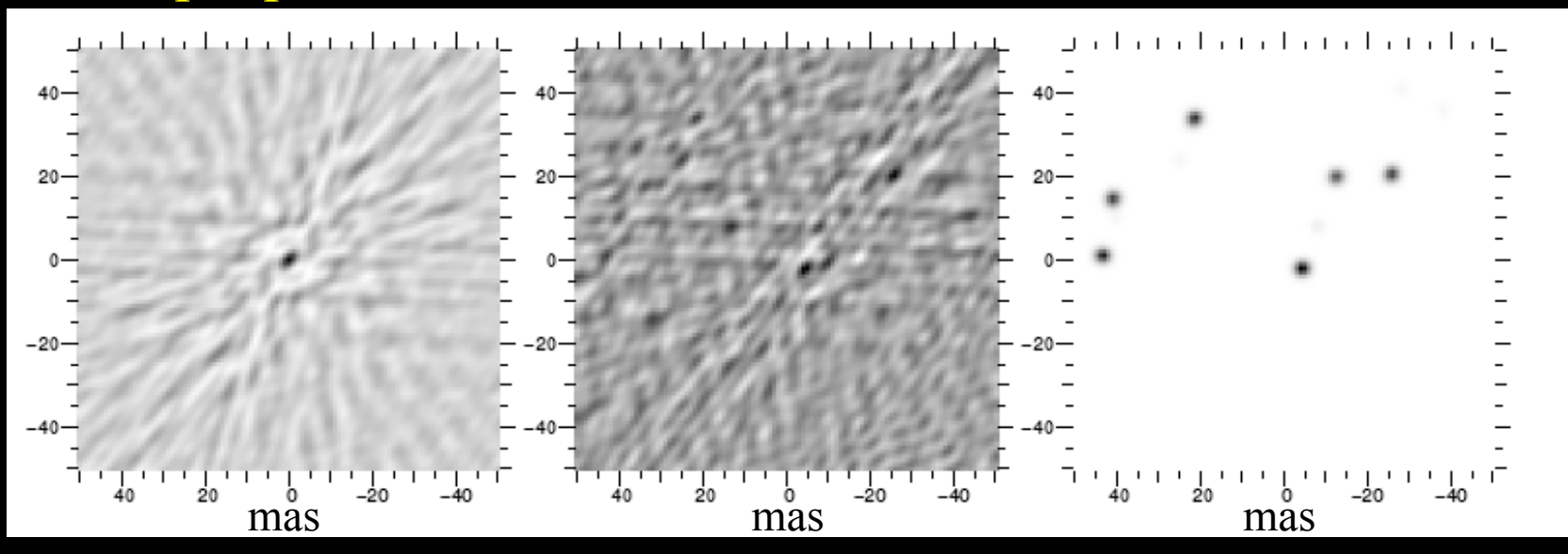
Imagerie et astrométrie par référence de phase





Imagerie des étoiles proches du centre galactique

Exemple pour une nuit d'observation



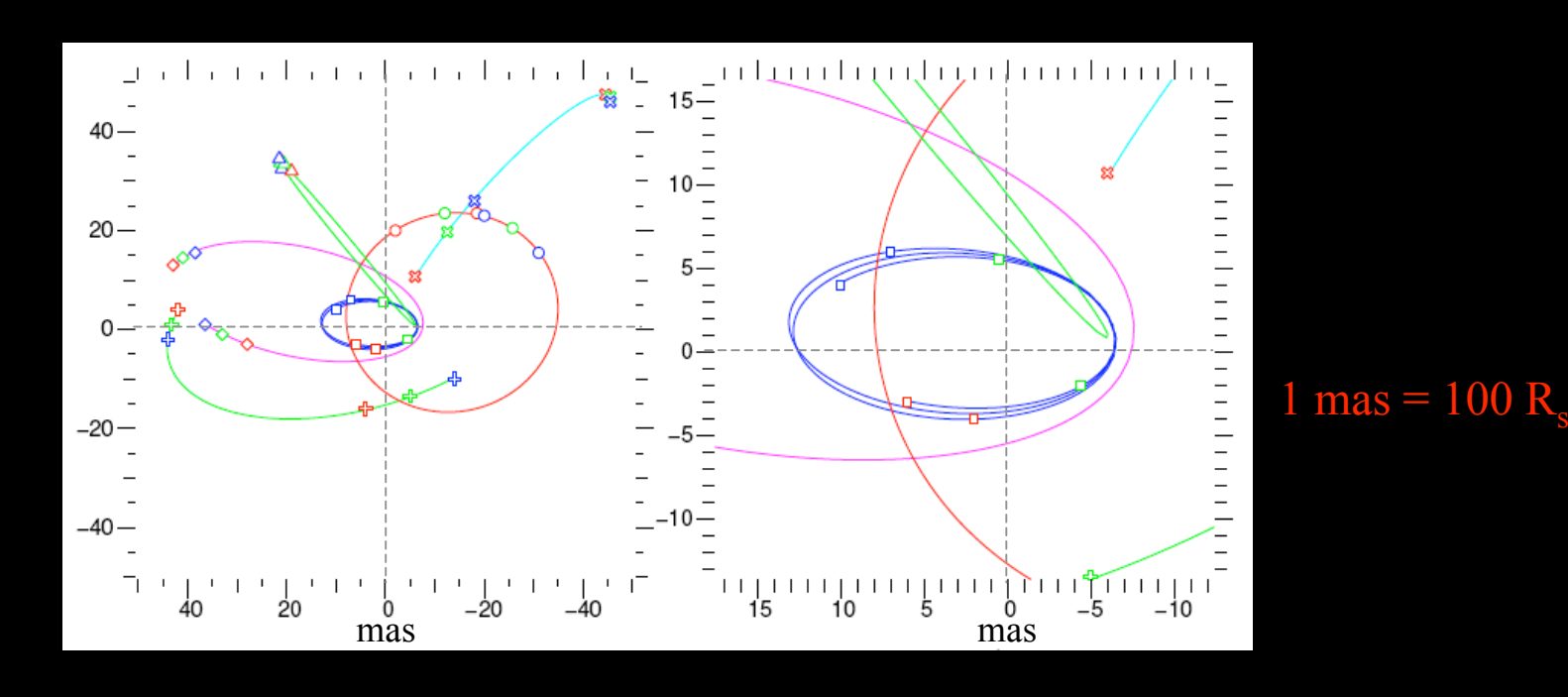
Réponse impulsionnelle

Image *sale* reconstruite (6 étoiles)

Image déconvoluée (CLEAN)

Imagerie des étoiles proches du centre galactique

Après 15 mois d'observation :



La précession relativiste est détectée.

Astrométrie (petit angle) et interférométrie

Pour deux objets non résolus, la différence de marche vaut :

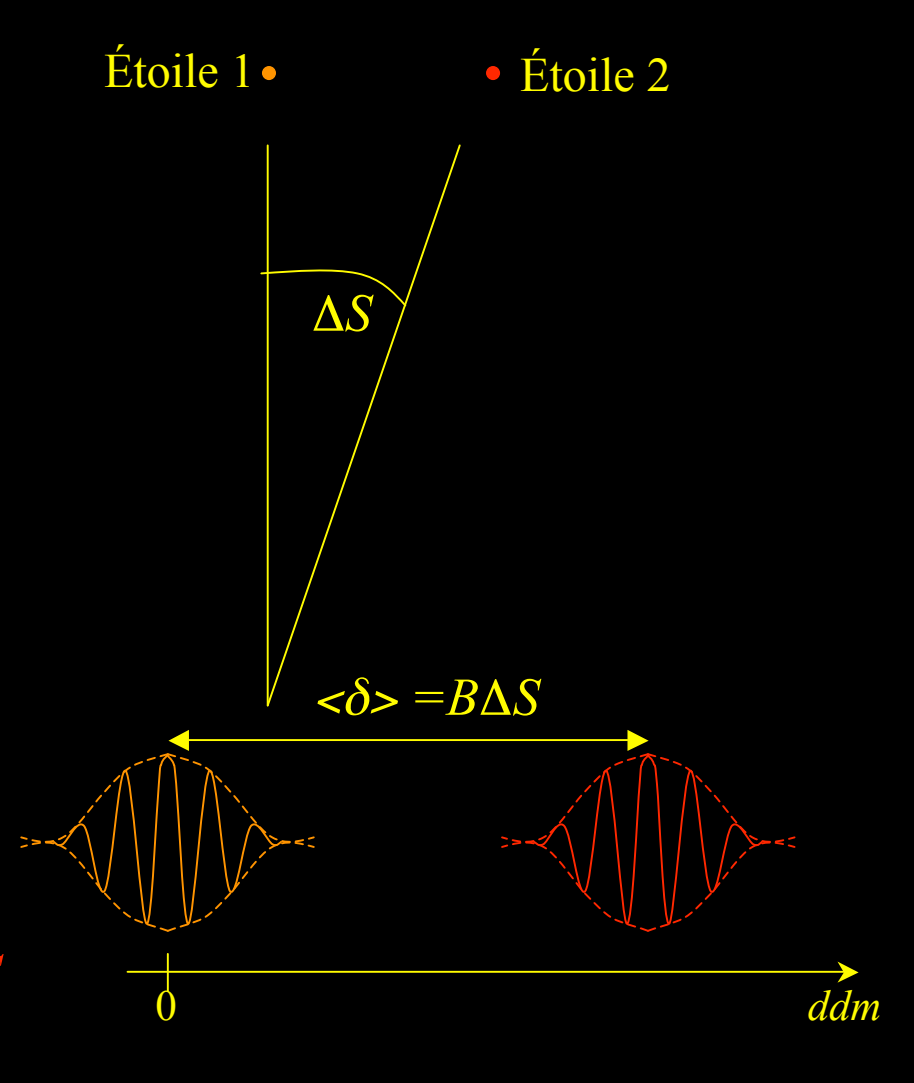
$$\Delta ddm_{obs} = \Delta ddm_{turbulence} + B\Delta S$$

En intégrant sur un temps plus grand que le temps de cohérence de l'atmosphère :

$$<\Delta ddm_{obs}> = <\Delta ddm_{turbulence}> + B\Delta S$$

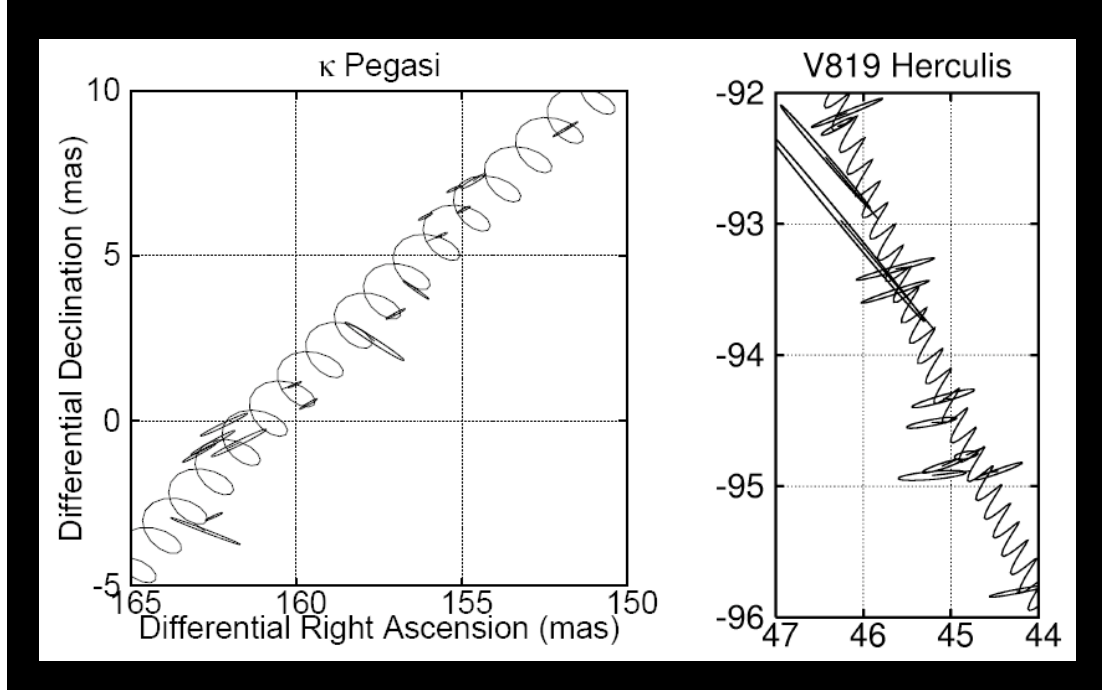
ou:
$$\Delta S = \langle \Delta ddm_{obs} \rangle / B$$

Avec une précision de 5 nm sur $<\Delta ddm_{obs}>$ pour une base de 100 m, la précision sur ΔS est de 10 μ as.



Démonstration avec le Palomar Testbed Interferometer

Recherche de planètes géantes dans des systèmes binaires



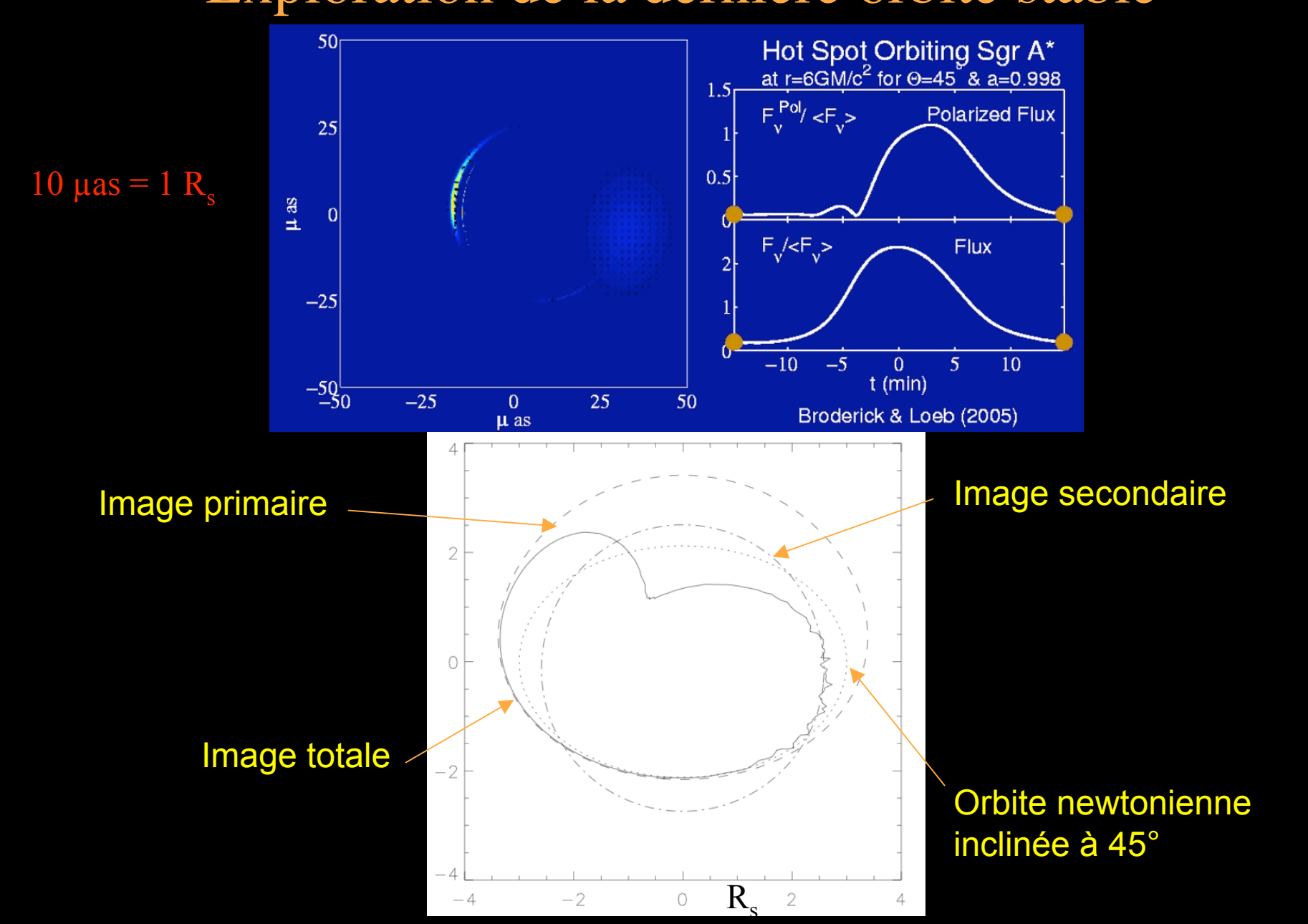
Bases de 110 m et 87 m Télescopes de 40 cm



Muterspaugh et al. 2006: "... the 20µas level has been demonstrated ..."

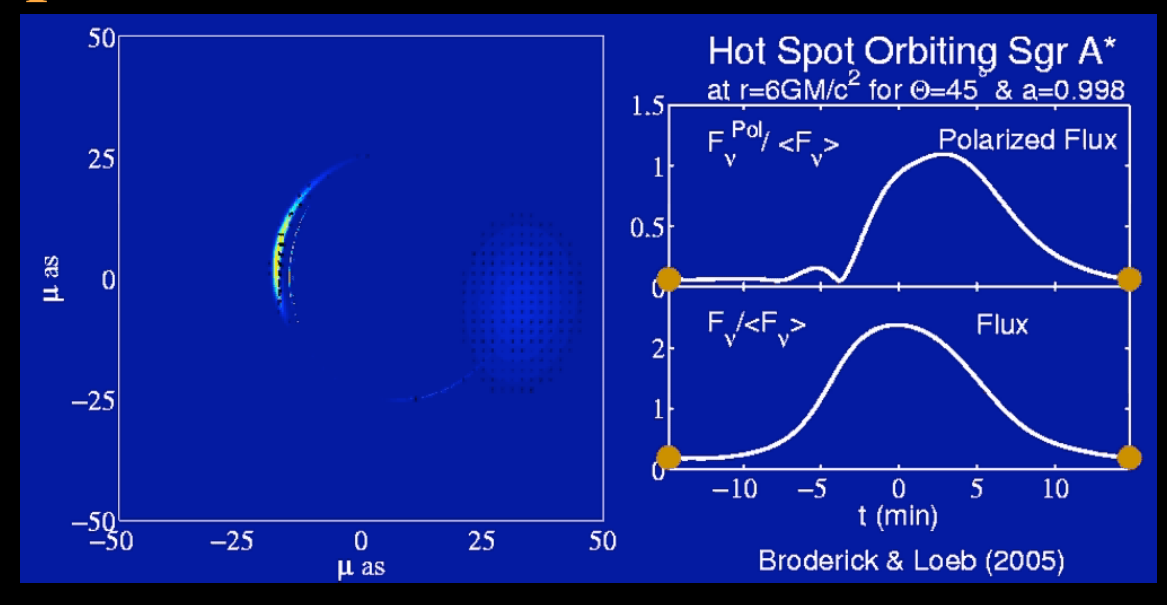
Secret de la réussite : le petit champ

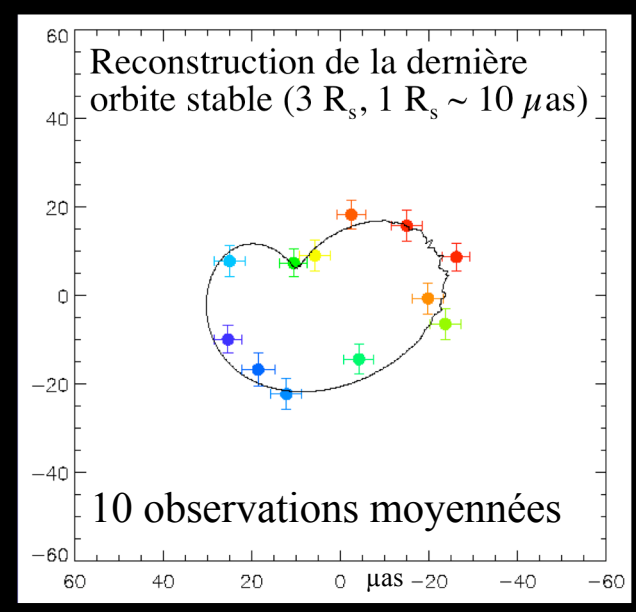
Exploration de la dernière orbite stable



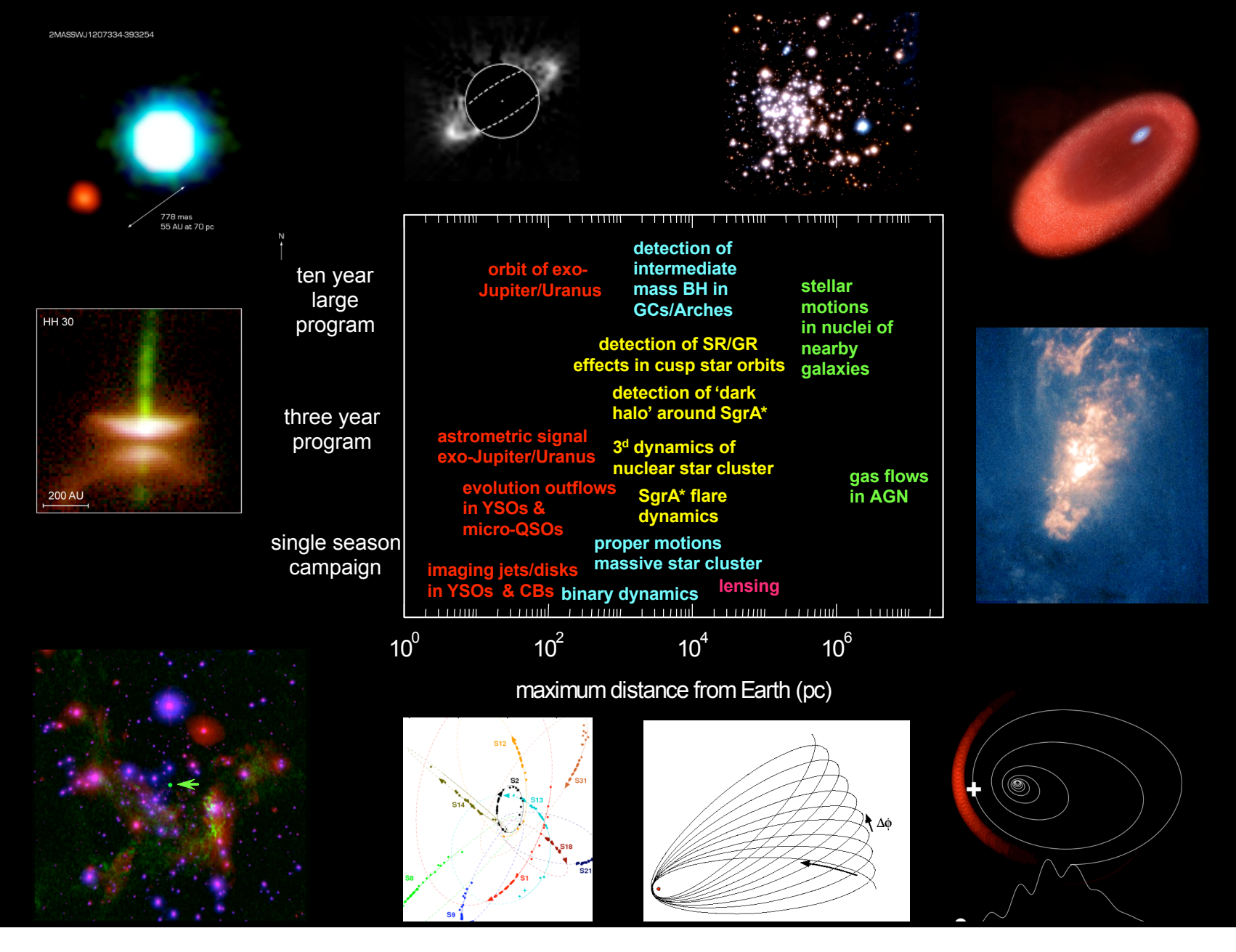
Exploration de la dernière orbite stable

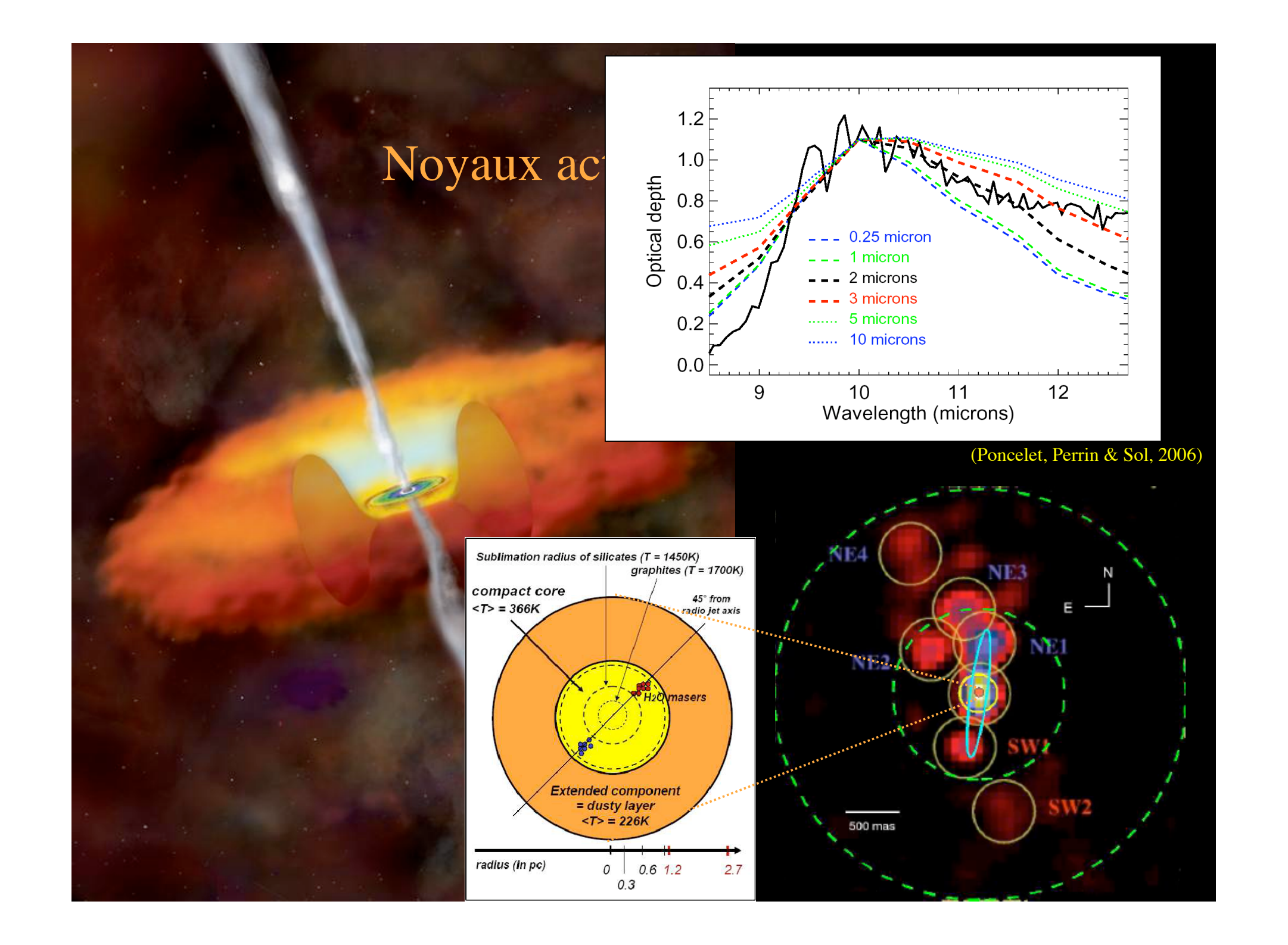






Objectifs astrophysiques de GRAVITY



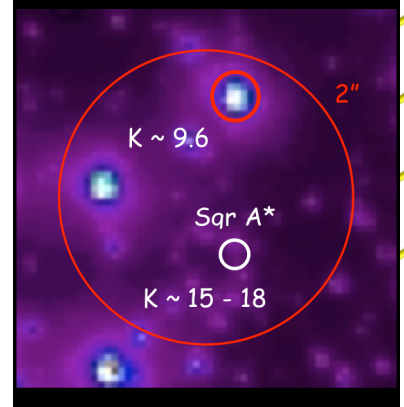


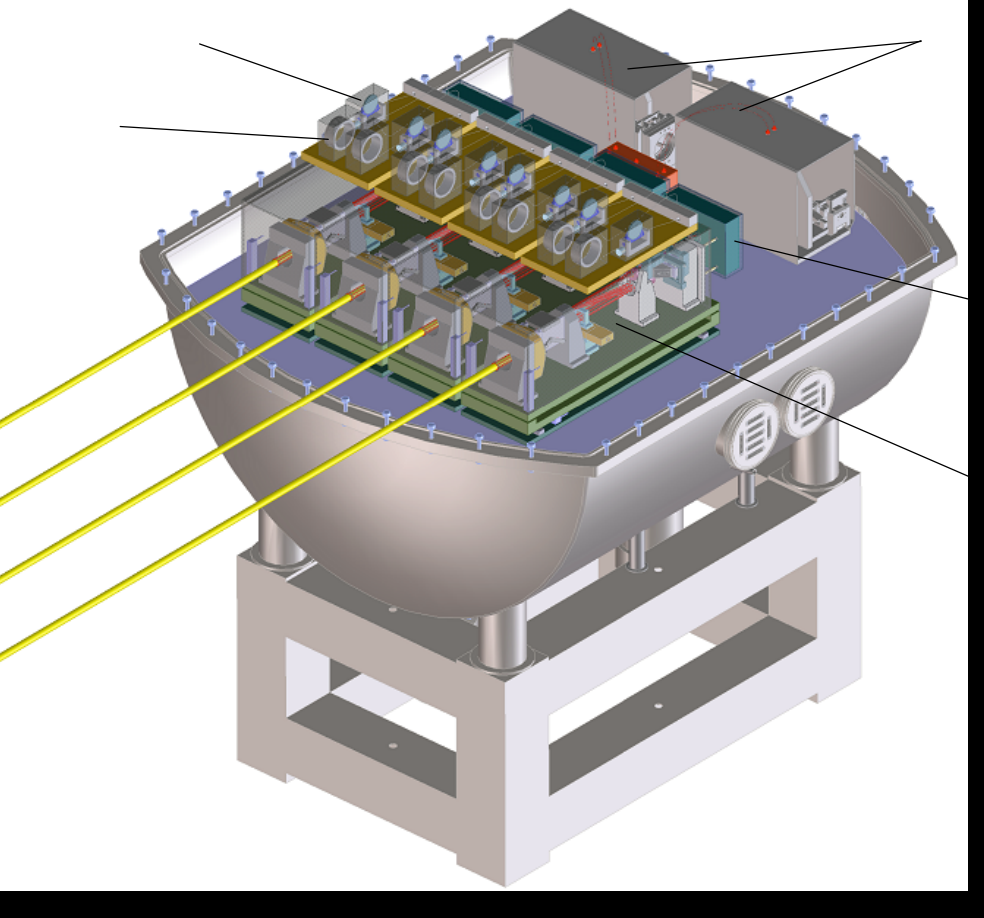
Où en est-on?

Contrôleurs de

polarisation

Lignes à retard fibrées





Spectrographes et recombinateurs

Caméras d'acquisition et de guidage

Injection dans les fibres

1ère lumière visée pour 2012-2013